

УДК 548.3:539.194:547.21

**ПОЛИМОРФНЫЕ ПРЕВРАЩЕНИЯ *n*-ПАРАФИНОВ C<sub>26</sub>H<sub>54</sub> И C<sub>28</sub>H<sub>58</sub> КАК ТИПИЧНЫХ ПРЕДСТАВИТЕЛЕЙ РОТАЦИОННЫХ ВЕЩЕСТВ**

© 2007 И.И. Гнатюк<sup>1</sup>, Н.В. Платонова<sup>2\*</sup>, Г.А. Пучковская<sup>1</sup>, Е.Н. Котельникова<sup>2</sup>, С.К. Филатов<sup>2</sup>, Я. Баран<sup>3</sup>, М. Дрозд<sup>3</sup>

<sup>1</sup>Институт физики НАН Украины, Киев

<sup>2</sup>Санкт-Петербургский государственный университет

<sup>3</sup>Институт низких температур и исследований структуры ПАН, Вроцлав, Польша

Статья поступила 6 марта 2006 г.

С доработки — 8 февраля 2007 г.

Изучены термические деформации и полиморфные превращения двух четных длинноцепочечных нормальных парафинов C<sub>26</sub>H<sub>54</sub> и C<sub>28</sub>H<sub>58</sub> с использованием методов термопрентгенографии (шаг по температуре — десятые доли градуса), инфракрасной спектроскопии (шаг по температуре 1—5°) и дифференциальной сканирующей калориметрии (шаг по температуре 2°) в режиме нагревания образца и охлаждения его расплава. Образцы характеризуются высокой степенью гомологической чистоты (99,0 %) и относятся к так называемым "пограничным" *n*-парафинам. Исходному образцу *n*-парафина C<sub>26</sub>H<sub>54</sub> при комнатной температуре присуща триклиновая кристаллическая модификация T<sub>c</sub><sub>cryst</sub>. В случае быстрого охлаждения расплава он кристаллизуется в триклиновой T<sub>c</sub><sub>cryst</sub> и однослойной моноклинной 1M<sub>cryst</sub> модификациях (двуухфазная смесь T<sub>c</sub><sub>cryst</sub> + 1M<sub>cryst</sub>). Исходному образцу *n*-парафина C<sub>28</sub>H<sub>58</sub> при комнатной температуре присуща двухслойная моноклинная модификация 2M<sub>cryst</sub>. В случае кристаллизации из гексана или медленного охлаждения расплава он кристаллизуется в однослойной моноклинной модификации 1M<sub>cryst</sub>. Термические деформации и температурные пределы существования кристаллических (T<sub>c</sub><sub>cryst</sub>, 1M<sub>cryst</sub> и 2M<sub>cryst</sub>), низкотемпературной ротационно-кристаллической ромбической (Or<sub>rot.1</sub>) и высокотемпературной ротационно-кристаллической гексагональной (H<sub>rot.2</sub>) фаз этих *n*-парафинов оценивали по характеру изменения их дифракционных картин и параметрам элементарной ячейки. Молекулярную структуру и конформационный состав этих *n*-парафинов в различных фазовых состояниях определяли по их ИК спектрам. Для определения температуры фазовых переходов применяли также дифференциальную сканирующую калориметрию (ДСК). Данные всех трех методов — термопрентгенографии, ИК спектроскопии и ДСК — находятся в хорошем согласии друг с другом.

**Ключевые слова:** нормальные четные длинноцепочечные *n*-парафины, фазовые превращения, кристаллическое и ротационно-кристаллические состояния, термопрентгенография, ИК спектроскопия, дифференциальная сканирующая калориметрия

**ВВЕДЕНИЕ**

Известно [1—3], что нормальные (*n*) парафины C<sub>n</sub>H<sub>2n+2</sub> или CH<sub>3</sub>(CH<sub>2</sub>)<sub>n</sub>CH<sub>3</sub> кристаллизуются в различных низкотемпературных кристаллических полиморфных модификациях — триклиновой, моноклинной и ромбической — в зависимости от длины молекулярной углеродной цепи (число *n*) и симметрии молекулы (четность числа *n*). Все нечетные *n*-парафины кристаллизуются в ромбической модификации Or<sub>cryst</sub>. Четные *n*-парафины по мере удлинения молекулярной цепочки кристаллизуются в триклиновой T<sub>c</sub><sub>cryst</sub> (*n* ≤ 26), моноклинной M<sub>cryst</sub> (*n* = 28—36)

\* E-mail: platonova@crystal.pu.ru

и предположительно в ромбической  $Or_{\text{cryst}}$  ( $n > 36$ ) модификациях. Разнообразие модификаций определяется, с одной стороны, симметрией четных и нечетных цепочечных молекул и, соответственно, упаковкой их концевых (метильных) групп в структуре *n*-парафина [4], с другой стороны — соотношением между силами межмолекулярного взаимодействия метиленовых цепочек ( $\text{CH}_2$ ) в слое и силами взаимодействия метильных групп ( $\text{CH}_3$ ) в межслоевом пространстве; в случае сравнительно длинноцепочечных гомологов ( $n > 24$ ) превалирует первое слагаемое [5]. Подробно этот вопрос рассматривается в [3].

Нагревание *n*-парафинов сопровождается фазовыми переходами из кристаллического состояния (сгуст) в различные ротационно-кристаллические состояния, которые различаются формой теплового движения парафиновых молекул вокруг своих длинных осей: от заторможенного вращения молекул (хаотически-крутильные колебания) в низкотемпературном ротационно-кристаллическом состоянии (rot.1) до свободного вращения молекул в высокотемпературном ротационно-кристаллическом состоянии (rot.2) [3]. Первые фундаментальные работы по полиморфным превращениям *n*-парафинов связаны с именем А. Мюллера [5]. Изучая при разных температурах дебаеграммы многих *n*-парафинов, он обнаружил у некоторых из них высокотемпературную гексагональную модификацию. Здесь же следует отметить основополагающие работы А.И. Китайгородского [2] и Ю.В. Мнююха [1] по кристаллохимии *n*-парафинов, работы А. Шерера и соавторов [6] по масс-спектрометрии, Дж. Дукета и соавторов [7 и др.] по терморентгенографии, Е.Б. Сироты и соавторов [8 и др.] по дифференциальной сканирующей калориметрии, а также значительное количество исследований, выполненных с использованием инфракрасной спектроскопии, рамановской спектроскопии, ядерного магнитного резонанса и других спектроскопических методов [9—16].

Ранее нами также исследовались термические деформации, конформации и полиморфные превращения *n*-парафинов и их разнообразных бинарных и тройных композиций (твердые растворы и смеси) в ряду значений  $n = 17—24$  взаимно дополняющими методами терморентгенографии (результаты подытожены в монографии [3]) и инфракрасной спектроскопии [17—20]. В настоящее время нами предпринято аналогичное исследование длинноцепочечных *n*-парафинов с  $n = 25—36$ , которые относятся к числу наименее изученных. Особый интерес представляют четные длинноцепочечные *n*-парафины, поскольку они, в отличие от короткоцепочечных и нечетных *n*-парафинов, обнаруживают разнообразие кристаллических (стабильных, метастабильных и стабилизованных) фаз в зависимости от способа их получения, предварительной термической обработки и гомологической чистоты образца [21—23].

В данной работе представлены результаты изучения четных длинноцепочечных *n*-парафинов  $\text{C}_{26}\text{H}_{54}$  и  $\text{C}_{28}\text{H}_{58}$ , которые являются "пограничными" в том смысле, что находятся в гомологическом ряду *n*-парафинов на границе между триклиническими и моноклиническими фазами. Этим объясняется неоднозначность и противоречивость полученных ранее [5, 24—29 и др.] кристаллохимических характеристик этих *n*-парафинов. Анализ температурной зависимости параметров и объема элементарной ячейки длинноцепочечных *n*-парафинов с  $n = 26$  и 28 показал, что им, так же как и короткоцепочечным *n*-парафинам ( $n = 17—24$ ), присущи ротационные ("rotator") фазы, температурный интервал существования которых уменьшается с увеличением числа  $n$ . Исследования температурной зависимости параметров ИК полос показали, что вплоть до температуры плавления молекулы этих парафинов находятся в полностью вытянутой *транс*-конфигурации. Величина давыдовского расщепления ИК полос деформационных колебаний метиленовой цепи, являющаяся характеристикой межмолекулярных резонансных взаимодействий в моноклинических и ромбических парафинах ( $Z = 2$ ), при нагревании резко уменьшается в интервале температур существования *n*-парафина в низкотемпературной ромбической ротационной фазе ( $Or_{\text{rot.1}}$ ) и становится равной нулю при переходе в высокотемпературную гексагональную ротационную фазу ( $H_{\text{rot.2}}$ ). Наблюдаемые эффекты адекватно описываются с помощью статической и динамической моделей [18, 20] и согласуются с результатами компьютерных вычислений [30]. Предварительные результаты исследования ИК спектров *n*-парафинов  $\text{C}_{26}\text{H}_{54}$  и  $\text{C}_{28}\text{H}_{58}$  представлены в [31].

Длинноцепочечные *n*-парафины, в том числе четные *n*-парафины C<sub>26</sub>H<sub>54</sub> и C<sub>28</sub>H<sub>58</sub>, входят в состав большинства природных парафиновых композиций; они являются важнейшими компонентами нефти, озокеритов, растительных и пчелиных восков, содержатся в различных отделах головного мозга млекопитающих [32—36]. Ротационные фазы *n*-парафинов характеризуются специфическими физическими свойствами, например, ярко выраженной пластичностью — важнейшим эксплуатационным свойством *n*-парафинов.

### МЕТОДИКА ЭКСПЕРИМЕНТА

Исходные образцы четных длинноцепочечных *n*-парафинов C<sub>26</sub>H<sub>54</sub> и C<sub>28</sub>H<sub>58</sub> характеризуются высокой степенью гомологической чистоты (99,0 %); они приобретены в фирме Aldrich. Термические фазовые превращения *n*-парафинов C<sub>26</sub>H<sub>54</sub> и C<sub>28</sub>H<sub>58</sub> исследованы методами термогравитационной, инфракрасной спектроскопии и дифференциальной сканирующей калориметрии в режиме нагревания образца от комнатной температуры до плавления вещества и последующего медленного охлаждения расплава до комнатной температуры.

**Термогравитационная спектроскопия.** Эксперименты проводились на дифрактометре ДРОН-3.0 (излучение CuK<sub>α</sub>, графитовый монохроматор), оснащенном высокотемпературной приставкой КРВ-1100, в атмосфере воздуха с шагом по температуре в десятые доли градуса. Образец, помещенный в камеру, нагревали в электрической керамической печи. Температуру измеряли ртутным термометром (шкала от –6 до 50 °C, цена деления 0,01 °C), подведенным к образцу через верхнее отверстие камеры. Образец готовили стандартным способом из спиртовой суспензии по методике, описанной в [37]. Для введения поправок в значения углов скольжения 2θ использовали эталонные рентгенограммы *n*-парафинов C<sub>26</sub>H<sub>54</sub> и C<sub>28</sub>H<sub>58</sub>, полученные в результате предварительных исследований в комнатных условиях с внутренним эталоном (германием). Расчет параметров элементарной ячейки проводили при всех температурах исследования методом наименьших квадратов с использованием программы UnitCell.

**Инфракрасная спектроскопия.** ИК спектры парафинов измерены с помощью FT-IR спектрометра, модель IFS-88 (Bruker, Германия), в спектральной области 4000—400 см<sup>–1</sup>, спектральная ширина щели 2 см<sup>–1</sup>, число сканов 32. Исследуемый образец предварительно расплавляли между двумя пластинками KBr и затем медленно в течение часа охлаждали до комнатной температуры, после чего устанавливали в специальную кювету для температурных исследований. Специальная кювета фирмы Bruker снабжена системой терmostатирования, точность поддержания температуры ±1 °C. Толщина образцов составляла 10—15 мкм. Цикл измерений ИК спектров проводили от комнатной температуры до 70 °C. Измерения ИК спектров в области фазовых переходов проводили через каждый градус, а вдали от фазовых переходов — через каждые 5°. После установления каждого последующего значения температуры кювету с образцом выдерживали в течение 10—15 мин, после чего проводили измерение ИК спектра. После охлаждения образца до комнатной температуры его ИК спектр полностью восстанавливался. Для разделения перекрывающихся полос в области деформационных колебаний метиленовой цепи использовали стандартную программу ORIGIN.

**Дифференциальная сканирующая калориметрия (ДСК).** Исследования проводили на дифференциальном сканирующем калориметре Perkin-Elmer DSC7 со скоростью нагревания и охлаждения образца 2 град/мин в интервале от комнатной температуры до 70 °C. Порошок исходного образца запрессовывали в алюминиевый тигель при комнатной температуре.

### ТЕРМИЧЕСКИЕ ДЕФОРМАЦИИ И ПОЛИМОРФНЫЕ ПРЕВРАЩЕНИЯ: РЕЗУЛЬТАТЫ И ИХ ОБСУЖДЕНИЕ

Рассмотрим этапы термических деформаций и полиморфных превращений длинноцепочечных четных *n*-парафинов отдельно для гомолога C<sub>26</sub>H<sub>54</sub> и гомолога C<sub>28</sub>H<sub>58</sub>.

***n*-Парафин C<sub>26</sub>H<sub>54</sub>.** Исходный образец этого *n*-парафина характеризуется триклинической полиморфной модификацией  $T_{c\text{ cryst}}$ . В случае медленного охлаждения расплава (в течение 2 ч) образец *n*-парафина C<sub>26</sub>H<sub>54</sub> также кристаллизуется в триклинической модификации.

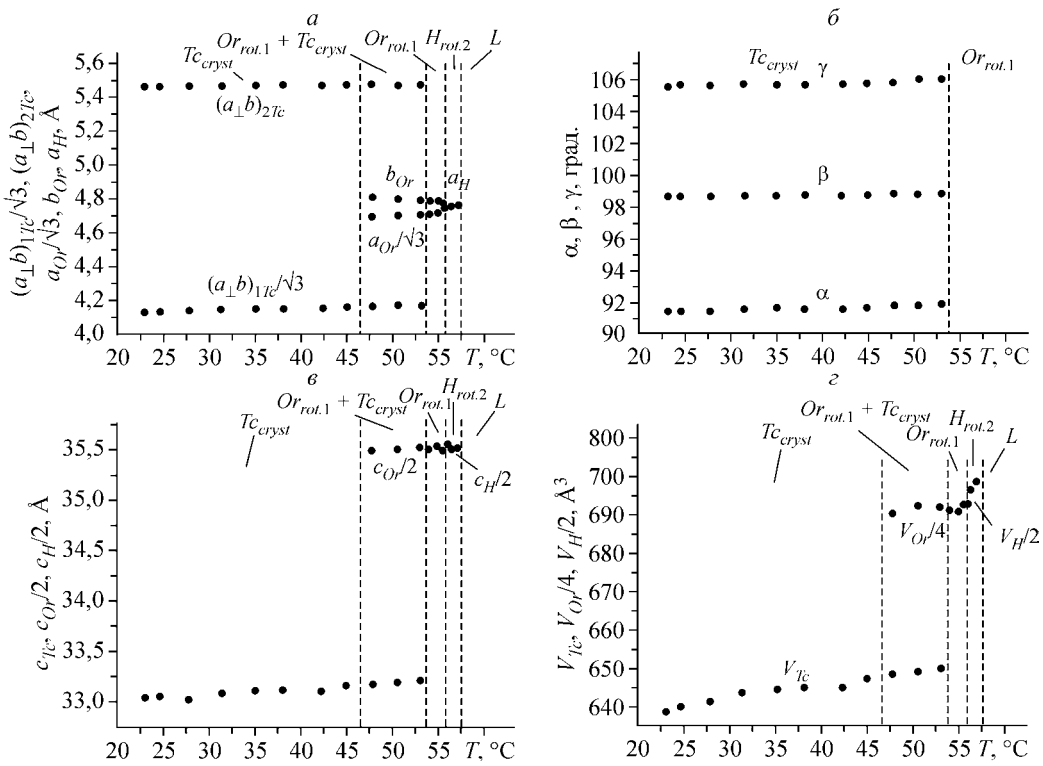


Рис. 1. Зависимость от температуры параметров  $a$  и  $b$  (а),  $c$  (б),  $\alpha$ ,  $\beta$  и  $\gamma$  (в) и объема  $V$  (г) триклинической, ромбической и гексагональной ячеек *n*-парафина  $C_{26}H_{54}$

В случае охлаждения расплава образца на воздухе или в морозильной камере одна часть вещества кристаллизуется в триклинической модификации  $T_{c_{cryst}}$ , а другая — в однослоиной моноклинной модификации  $1M_{cryst}$ , в результате чего образуется двухфазная смесь  $T_{c_{cryst}} + 1M_{cryst}$ . Методами терморентгенографии и ДСК исследовали триклиническую модификацию этого *n*-парафина. Методом ИК спектроскопии изучали двухфазную смесь, в которой содержание триклинической фазы значительно превышало содержание моноклинной ( $T_{c_{cryst}} > 1M_{cryst}$ ). Двухфазность образца обусловлена способом его приготовления для ИК исследований.

**Терморентгенография.** На рис. 1 показана температурная зависимость параметров  $a$  и  $b$  (а),  $c$  (б),  $\alpha$ ,  $\beta$  и  $\gamma$  (в) и объема  $V$  (г) триклинической, ромбической и гексагональной ячеек *n*-парафина  $C_{26}H_{54}$ . Ориентационные отношения между триклинической и ромбической ячейками удобно выразить следующими уравнениями [3, 23]:

$$\begin{aligned} (\mathbf{a}_{\perp}\mathbf{b})_{1Tc} &= (a_{\perp Tc}^2 + b_{Tc}^2 - 2a_{\perp Tc}b_{Tc}\cos\gamma)^{1/2} \rightarrow a_{Or}/\sqrt{3} = a_H, \\ (\mathbf{a}_{\perp}\mathbf{b})_{2Tc} &= (a_{\perp Tc}^2 + b_{Tc}^2 + 2a_{\perp Tc}b_{Tc}\cos\gamma)^{1/2} \rightarrow b_{Or}, \end{aligned}$$

где  $a_{\perp Tc} = a_{Tc}\cos(\beta - 90^\circ)$ .

В свою очередь, параметр  $a_{Or}$  ромбической ячейки представлен в форме  $a_{Or}/\sqrt{3}$ , в которой он будет равен параметру  $a_H$  гексагональной ячейки в случае ромбическо-гексагонального полиморфного превращения. Соответственно, на рис. 1, а параметр  $a_{Tc}$  триклинической ячейки представлен в виде  $(\mathbf{a}_{\perp}\mathbf{b})_{1Tc}/\sqrt{3}$ , а параметр  $b_{Tc}$  — в виде  $(\mathbf{a}_{\perp}\mathbf{b})_{2Tc}$ . Параметр  $c$  ромбической и гексагональной ячеек соответствует удвоенному значению параметра  $c$  триклинической ячейки:  $2c_{Tc} = c_{Or} = c_H$ , так как ромбическая и гексагональная модификации двухслойные. На рис. 1, б параметры  $c$  ячеек этих фаз представлены в виде  $c_{Tc}$ ,  $c_{Or}/2$  и  $c_H/2$  соответственно. Объем ромбической ячейки равен двум объемам гексагональной ячейки и четырем объемам триклинической ячейки:  $4V_{Tc} = V_{Or} = 2V_H$ . На рис. 1, г объемы ячеек этих фаз представлены в виде  $V_{Tc}$ ,  $V_{Or}/4$  и  $V_H/2$  соответственно.

Самый протяженный по температуре этап нагревания (22,5—46,5 °C) сопровождается лишь тепловым расширением структуры *n*-парафина C<sub>26</sub>H<sub>54</sub>, о чем свидетельствует незначительное и монотонное увеличение всех параметров его триклиновой ячейки. При этом объем увеличивается на 1,0—1,5 %. При дальнейшем нагревании на дифрактограмме при температуре 46,5 °C появляется дополнительная серия рефлексов типа 00*l*, а также рефлексы 110 и 200, характерные для *низкотемпературной ромбической ротационно-кристаллической* модификации *Or*<sub>rot.1</sub>. В достаточно широком температурном интервале (около 7 °C) обе фазы — триклиновая кристаллическая *Tc*<sub>cryst</sub> и ромбическая ротационно-кристаллическая *Or*<sub>rot.1</sub> — существуют совместно. Триклинико-ромбическое полиморфное превращение полностью осуществляется при температуре 54,0 °C. Оно сопровождается резким скачком объема (на 6,5 %) и других параметров элементарной ячейки, что позволяет его отнести к фазовым переходам I рода.

Последующее нагревание ромбической ротационно-кристаллической фазы *Or*<sub>rot.1</sub> приводит к интенсивному сближению параметров  $a_{Or} / \sqrt{3}$  и  $b_{Or}$  в узком температурном интервале (около 2 °C), что соответствует термическим деформациям структуры этого *n*-парафина в направлении ромбическо-гексагонального полиморфного превращения. Переход в *высокотемпературную гексагональную ротационно-кристаллическую* фазу *H*<sub>rot.2</sub> происходит при температуре 55,8 °C; он осуществляется плавно без скачка объема и других параметров ячейки и может быть отнесен к фазовым переходам II рода. Переход в фазу *H*<sub>rot.2</sub> фиксируется по "образованию" пика 100 гексагональной фазы в момент слияния пиков 110 и 200 ромбической фазы. Фаза *H*<sub>rot.2</sub> также существует в очень узком интервале температур (около 1,5 °C). При 57,5 °C вещество плавится.

Триклинико-ромбическо-гексагональное превращение *обратимо* по температуре, однако при обратном ходе процесса (охлаждении расплава) не удалось наблюдать область совместного существования триклиновой кристаллической и ромбической ротационно-кристаллической фаз: *Tc*<sub>cryst</sub> → *Tc*<sub>cryst</sub> + *Or*<sub>rot.1</sub> → *Or*<sub>rot.1</sub> → *H*<sub>rot.2</sub> → *L* → *H*<sub>rot.2</sub> → *Or*<sub>rot.1</sub> → *Tc*<sub>cryst</sub>. В случае фазового перехода I рода проявляется гистерезис (около 2 °C); как и следовало ожидать, температура прямого перехода *Tc*<sub>cryst</sub> → *Or*<sub>rot.1</sub> выше температуры обратного перехода *Or*<sub>rot.1</sub> → *Tc*<sub>cryst</sub>. Особо следует подчеркнуть, что в случае *n*-парафинов полиморфный переход из триклиновой фазы в ромбическую является одновременно переходом из кристаллического состояния вещества *cryst* в низкотемпературное ротационно-кристаллическое состояние *rot.1*.

**Инфракрасная спектроскопия.** На рис. 2 приведены ИК спектры *n*-парафина C<sub>26</sub>H<sub>54</sub>, измеренные в интервале температур 22—70 °C в области маятниковых 680—760 см<sup>-1</sup> (а), веерных и ножничных колебаний 1275—1400 см<sup>-1</sup> (б) метиленовых групп CH<sub>2</sub>, а также ИК спектры симметричных зонтичных колебаний групп CH<sub>3</sub> в области 1365—1380 см<sup>-1</sup> (в). В первой области (см. рис. 2, а) наблюдаются две интенсивные полосы при 717 и 729 см<sup>-1</sup>. Известно, что моноклинные *n*-парафины характеризуются *ромбической подъячейкой* (*Z* = 2) [1—3]. Известно также [17—20, 30], что для *n*-парафинов с ромбической подъячейкой характерны две интенсивные полосы 719,5 и 730 см<sup>-1</sup> примерно равной интенсивности, соответствующие маятниковым колебаниям (в фазе) соседних, трансляционно неэквивалентных метиленовых цепочек. Для парафинов с *триклиновой подъячейкой* (*Z* = 1) характерна одна интенсивная полоса с частотой 717 см<sup>-1</sup>. В случае *n*-парафина C<sub>26</sub>H<sub>54</sub> интенсивность одной из полос (729,6 см<sup>-1</sup>) гораздо меньше интенсивности другой полосы (717 см<sup>-1</sup>). Путем графического разделения, с учетом равенства интенсивности двух полос в случае ромбической подъячейки, выделены полосы, соответствующие двум модификациям *n*-парафина C<sub>26</sub>H<sub>54</sub> — триклиновой и моноклинной (см. рис. 2, г). Из соотношения интегральных интенсивностей можно оценить относительное содержание этих модификаций. В нашем случае при комнатной температуре содержание фазы *Tc*<sub>cryst</sub> примерно в 3 раза превосходит содержание фазы 1*M*<sub>cryst</sub>.

При повышении температуры до 35 °C в спектре (область маятниковых колебаний) не выявлено каких-либо существенных изменений (см. рис. 2, а, кривая 1). При дальнейшем повышении температуры в протяженном интервале 36—59 °C наблюдается уменьшение частоты второй компоненты до 728 см<sup>-1</sup> (кривые 2 и 3). При температуре 60 °C наблюдается уже только одна широкая интенсивная полоса с частотой 721 см<sup>-1</sup> (кривая 4). Это свидетельствует о том,

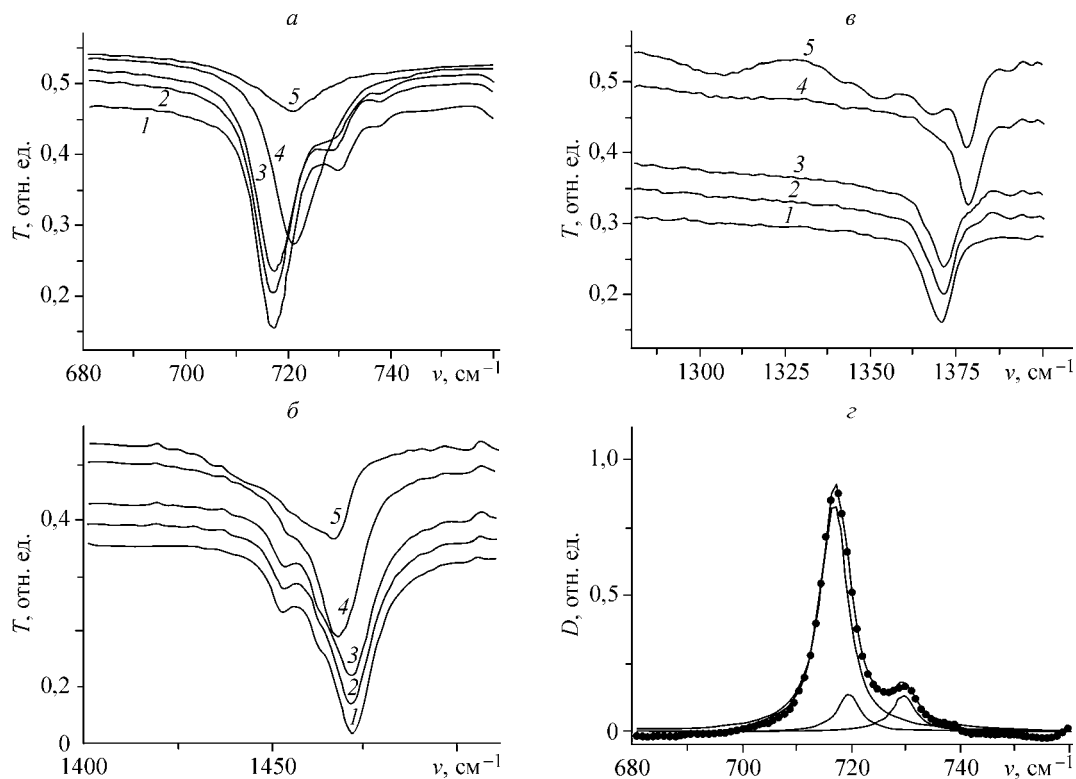


Рис. 2. Зависимость от температуры ИК спектров пропускания *n*-парафина  $C_{26}H_{54}$  в области маятниковых (а), веерных и ножничных (б) колебаний групп  $CH_2$  и зонтичных (в) колебаний групп  $CH_3$ ; кривые 1, 2, 3, 4, 5 измерены при температуре 22, 55, 59, 60 и 64 °C соответственно; отдельно показано графическое разделение оптической плотности  $D$  полос в области маятниковых колебаний (22 °C) (в)

что в интервале 59—60 °C произошел полиморфный переход из кристаллического состояния *сгуст* (*тепловые* колебания молекул относительно эквивалентных фиксированных положений равновесия) в низкотемпературное ротационно-кристаллическое состояние *rot.1* (*хаотически-крутильные* колебания молекул относительно изменяющихся во времени положений равновесия). Переход в высокотемпературное ротационно-кристаллическое состояние (*свободное вращение* молекул вокруг своих осей), по-видимому, осуществляется в интервале температур 60—64 °C, так как при 64 °C вещество плавится. При этом в спектре наблюдается широкая полоса с частотой  $720\text{ cm}^{-1}$ , однако ее интенсивность уменьшается примерно в 4 раза (кривая 5), что характерно для расплавов *n*-парафинов.

Аналогичные выводы об особенностях фазовых переходов *n*-парафина  $C_{26}H_{54}$  можно сделать при рассмотрении полос в области  $1460$ — $1480\text{ cm}^{-1}$  (см. рис. 2, б). Однако в этой области, кроме ножничных колебаний групп  $CH_2$ , наблюдаются антисимметричные колебания групп  $CH_3$  (примерно  $1460\text{ cm}^{-1}$ ), что осложняет разделение полос и проведение количественных вычислений. Кроме того, при температуре 64 °C (начало плавления) наблюдается появление нескольких новых полос ( $1368$ ,  $1352$ ,  $1340$  и широкая  $1303\text{ cm}^{-1}$ ), соответствующих деформационным колебаниям различных фрагментов изогнутых метиленовых цепочек (см. рис. 2, в). Эти полосы, согласно литературным данным [15, 16], могут быть отнесены к колебаниям следующих фрагментов изогнутых метиленовых цепей:

$1306$  и  $1367\text{ cm}^{-1}$  — плоские и неплоские веерные колебания групп  $CH_2$  во фрагментах G, TG и GTG';

$1342\text{ cm}^{-1}$  — веерное колебание группы  $CH_2$  в конформациях TG, около группы  $CH_3$ ;

$1359\text{ cm}^{-1}$  — веерное колебание группы  $CH_2$ , изолированной между двумя структурами G;

$1472$  и  $1463\text{ cm}^{-1}$  — ножничные колебания группы  $CH_2$  в случае ромбической подъячейки;

$1471\text{ cm}^{-1}$  — ножничное колебание группы  $CH_2$  в случае триклиинной подъячейки.

Рис. 3. Термограммы *n*-парафина  $C_{26}H_{54}$  (а) и  $C_{28}H_{58}$  (б), полученные при нагревании образца (сплошная кривая) и охлаждении его расплава (штриховая)

Зонтичные колебания групп  $CH_3$  (см. рис. 2, в) чувствительны к изменению окружения и межслоевым взаимодействиям. Для кристаллической фазы положение максимума полосы  $1371\text{ cm}^{-1}$  сохраняется вплоть до  $59\text{ }^{\circ}\text{C}$  (кривая 3). Переход в ротационно-кристаллическую фазу ( $T \approx 60\text{ }^{\circ}\text{C}$ ) сопровождается сдвигом этой полосы в сторону больших частот ( $1378\text{ cm}^{-1}$ , кривая 4), что свидетельствует об увеличении межслоевого расстояния. Однако при этом полосы, соответствующие изогнутым конформерам, еще не проявляются (кривая 4), т.е. метиленовые цепочки *n*-парафина  $C_{26}H_{54}$  полностью вытянуты — находятся в *транс*-конфигурации. Дальнейшее повышение температуры вплоть до температуры плавления не приводит к изменению положения полосы  $1378\text{ cm}^{-1}$  (кривая 5).

#### Дифференциальная сканирующая калориметрия.

На рис. 3, а приведены термограммы *n*-парафина  $C_{26}H_{54}$ , полученные методом ДСК в режимах нагревания (сплошная кривая) и охлаждения (штриховая). Согласно этим данным, обратимый фазовый переход I рода из кристаллического состояния в ротационно-кристаллическое ( $cryst \leftrightarrow rot.1$ ) осуществляется при температуре  $54,3$  (нагревание) и  $51,0\text{ }^{\circ}\text{C}$  (охлаждение); энталпия перехода составляет  $91,7\text{ Дж/г}$ . Обратимый переход II рода из низкотемпературного ротационно-кристаллического состояния в высокотемпературное ротационно-кристаллическое ( $rot.1 \leftrightarrow rot.2$ ) происходит примерно при температуре  $56,5$  (нагревание) и  $56,0\text{ }^{\circ}\text{C}$  (охлаждение). Обратимое превращение твердой фазы в жидкую ( $rot.2 \leftrightarrow L$ ) происходит при температуре  $57,7$  (нагревание) и  $56,5\text{ }^{\circ}\text{C}$  (охлаждение); энталпия этого перехода составляет  $166,7\text{ Дж/г}$ . Данные ДСК весьма удовлетворительно согласуются с соответствующими данными терморентгенографии (табл. 1). Небольшие расхождения данных терморентгенографии и ДСК с данными ИК спектроскопии обусловлены, на наш взгляд, разным фазовым состоянием исходных образцов *n*-парафина  $C_{26}H_{54}$ .

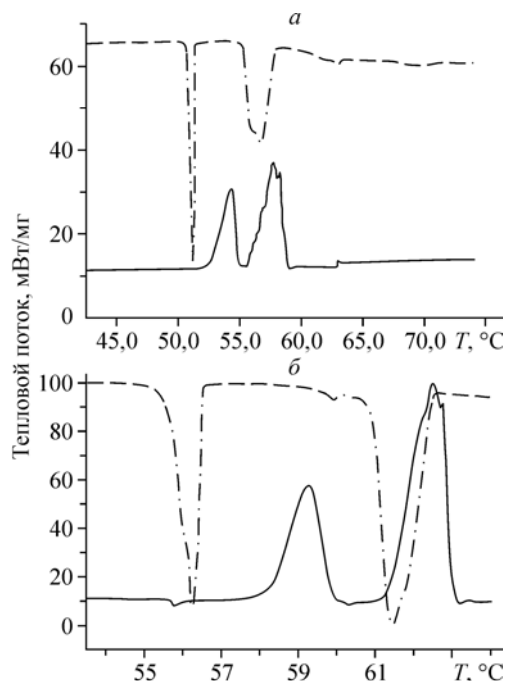
***n*-Парафин  $C_{28}H_{58}$ .** Исходный образец этого *n*-парафина характеризуется двухслойной моноклинной кристаллической полиморфной модификацией  $2M_{cryst}$ . При охлаждении расплава образец этого *n*-парафина кристаллизуется в однослоиной моноклинной модификации  $1M_{cryst}$ . Методом терморентгенографии изучена модификация  $2M_{cryst}$ , методом ИК спектроскопии — модификация  $1M_{cryst}$  (это обусловлено способом приготовления образца), а методом ДСК — обе названные модификации.

**Терморентгенография.** На рис. 4 показана температурная зависимость параметров  $a$  и  $b$

Таблица 1

Температура фазовых переходов *n*-парафина  $C_{26}H_{54}$ , установленная разными методами в режиме нагревания образца

Метод	Исходная фаза	Температура, $^{\circ}\text{C}$		
		Переход $cryst \rightarrow rot.1$	Переход $rot.1 \rightarrow rot.2$	Плавление $rot.2 \rightarrow L$
Терморентгенография	$T_c$	54,0	55,8	57,5
ИК спектроскопия	$T_c + 1M$	59,5	Не определена	64,0
ДСК	$T_c$	54,3	56,5	57,7



( $a$ ),  $c$  ( $\beta$ ),  $\beta$  ( $\varepsilon$ ) и объема  $V$  ( $\varepsilon$ ) двухслойной моноклинной и ромбической ячеек этого *n*-парафина. Для удобства параметры моноклинной и ромбической ячеек представлены в виде [3, 23]:  $a_{Or} = a_M \sin \beta$ ,  $b_{Or} = b_M / \sqrt{3}$  и  $c_{Or} = c_M \sin \beta$ .

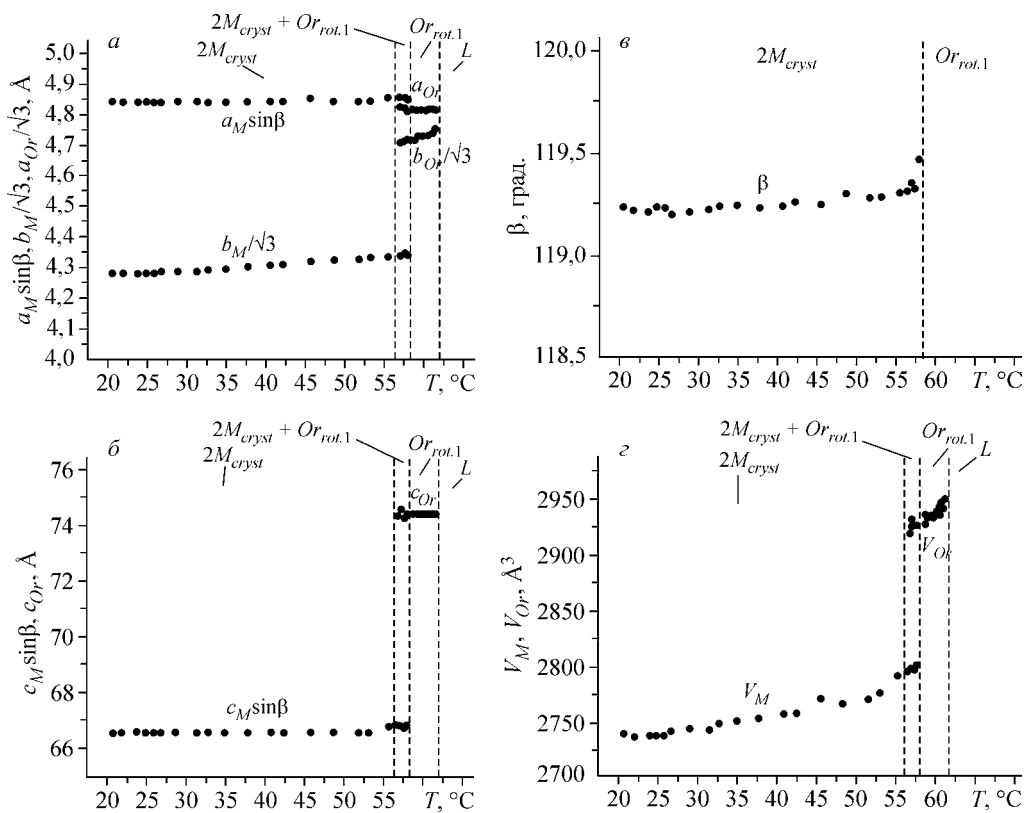


Рис. 4. Зависимость от температуры параметров  $a$  и  $b$  (а),  $c$  (б),  $\beta$  (в) и объема  $V$  (г) моноклинной и ромбической ячеек *n*-парафина  $C_{28}H_{58}$

Очень протяженный по температуре этап нагревания ( $20,5$ — $55,8$  °C) сопровождается лишь тепловым расширением структуры *n*-парафина, о чем свидетельствует незначительное и монотонное увеличение параметров и объема  $V$  (на 1,5—2,0 %) его моноклинной ячейки. При дальнейшем нагревании на дифрактограмме при температуре  $55,9$  °C появляются дополнительные рефлексы типа  $00l$ , а также рефлексы 110 и 020, характерные для *низкотемпературной ромбической ротационно-кристаллической* фазы  $Or_{\text{rot.1}}$ . В узком интервале температур (около 2 °C) обе фазы — моноклинная кристаллическая  $2M_{\text{crys}}$  и ромбическая ротационно-кристаллическая  $Or_{\text{rot.1}}$  — существуют совместно. Моноклинно-ромбическое превращение полностью осуществляется при  $57,6$  °C и сопровождается резким скачком объема  $V$  (на 4,5 %) и других параметров элементарной ячейки, что позволяет его относить к фазовым переходам I рода. В следующем температурном интервале  $57,6$ — $61,5$  °C параметры  $a_{Or}$  и  $b_{Or}/\sqrt{3}$  ромбической ячейки фазы  $Or_{\text{rot.1}}$  интенсивно сближаются, что соответствует термическим деформациям структуры этого *n*-парафина в направлении ромбическо-гексагонального полиморфного перехода. Однако переход в высокотемпературную гексагональную ротационно-кристаллическую фазу  $H_{\text{rot.2}}$  не упирается — при  $61,5$  °C вещества плавится.

Моноклинно-ромбическое превращение *необратимо* по температуре: при обратном ходе процесса (охлаждении расплава) низкотемпературная ромбическая ротационно-кристаллическая фаза  $Or_{\text{rot.1}}$  переходит не в исходную двухслойную моноклинную фазу  $2M_{\text{crys}}$ , а в *однослоистую* моноклинную фазу  $1M_{\text{crys}}$  ( $2M_{\text{crys}} \rightarrow 2M_{\text{crys}} + Or_{\text{rot.1}} \rightarrow Or_{\text{rot.1}} \rightarrow L \rightarrow Or_{\text{rot.1}} \rightarrow 1M_{\text{crys}}$ ). И снова подчеркнем, теперь уже на примере *моноклинного* *n*-парафина  $C_{28}H_{58}$ , что полиморфный переход из моноклинной фазы в ромбическую является одновременно переходом из кристаллического состояния вещества в низкотемпературное ротационно-кристаллическое (гистерезис  $\sim 1$ — $2$  °C).

**Инфракрасная спектроскопия.** Фрагменты ИК спектров *n*-парафина  $C_{28}H_{58}$  показаны на рис. 5. Они представлены в тех же спектральных областях, как и спектры *n*-парафина  $C_{26}H_{54}$ .

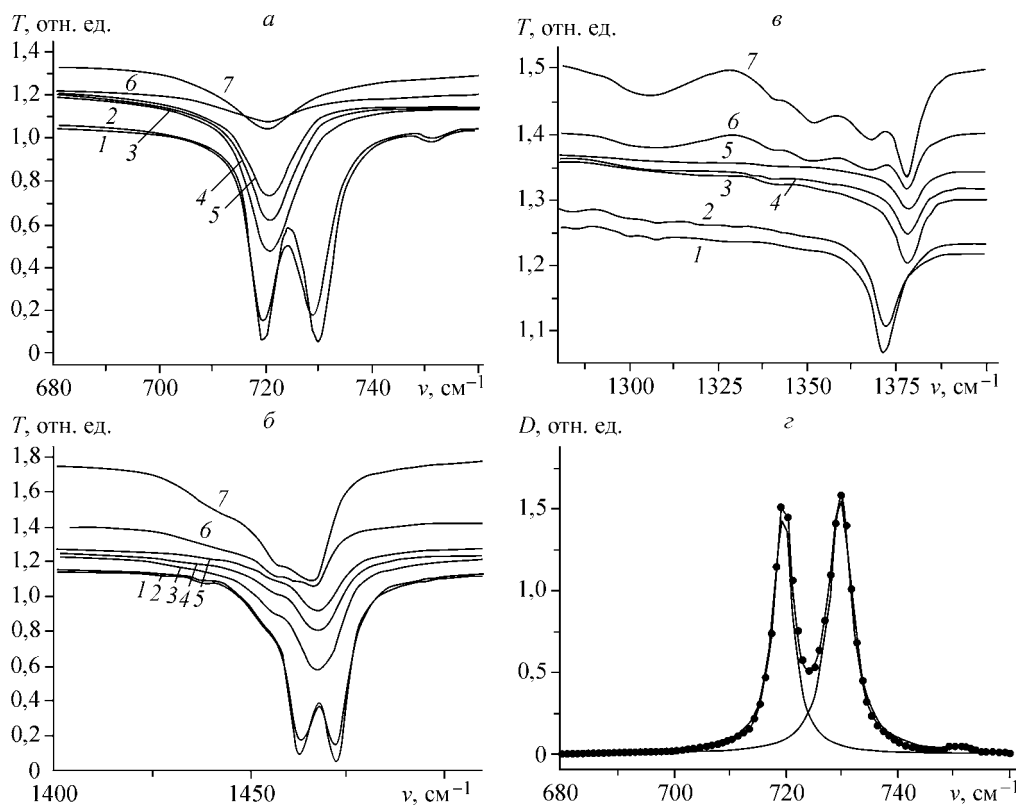


Рис. 5. Зависимость от температуры ИК спектров пропускания *n*-парафина C<sub>28</sub>H<sub>58</sub> в области маятниковых (а), веерных и ножничных (б) колебаний групп CH<sub>2</sub> и зонтичных (в) колебаний групп CH<sub>3</sub>; кривые 1, 2, 3, 4, 5, 6 и 7 измерены при температуре 28, 60, 61, 62, 63, 65 и 70 °С соответственно; отдельно показано графическое разделение оптической плотности D полос в области маятниковых колебаний (*T* = 28 °С) (г)

(см. рис. 2). В области маятниковых колебаний при 28 °С наблюдается четкий дублет интенсивных полос с частотами 720 и 730 см<sup>-1</sup> (см. рис. 5, а, кривая 1), характерный для кристаллической модификации *n*-парафинов с ромбической подъячейкой. Результат графического разделения этих полос показан на рис. 5, г. При нагревании образца до 61 °С никаких заметных изменений в ИК спектре не наблюдается за исключением незначительного уширения полос и уменьшения их пиковой интенсивности (см. рис. 5, а, кривая 2). Об этом же свидетельствуют и представленные на рис. 6 кривые температурной зависимости параметров ИК полос поглощения 720 (I) и 730 (II) см<sup>-1</sup> — компонентов давыдовского расщепления Δv<sub>I,II</sub> маятниковых колебаний метиленовых цепей соседних трансляционно неэквивалентных молекул в ромбической подъячейке (*Z* = 2). Известно, что величина давыдовского расщепления Δv<sub>I,II</sub> = v<sub>II</sub> - v<sub>I</sub> — величина расщепления дублета полос 720 (I) и 730 (II) см<sup>-1</sup> — является характеристикой резонансного взаимодействия между метиленовыми цепочками в слое [18, 19]. В интервале температур 28,0—61,0 °С, т.е. в температурной области существования моноклинной фазы 1*M*<sub>cryst</sub>, все параметры давыдовского дублета изменяются незначительно (см. рис. 6): монотонно уменьшается величина давыдовского расщепления Δv<sub>I,II</sub> (а), увеличивается полуширина полос Δv<sub>1/2</sub> (б), что характеризует усиление теплового движения молекул вокруг их длинных осей, и изменяется положение их максимумов v<sub>max</sub> (в). При 61 °С наблюдается резкое изменение параметров ИК полос маятниковых колебаний: величина давыдовского расщепления становится практически равной нулю (а), вместо двух полос v<sub>I</sub> и v<sub>II</sub> наблюдается одна полоса с частотой 721 см<sup>-1</sup> (б) и полушириной 8 см<sup>-1</sup> (в), характерная для ромбической ротационно-кристаллической фазы *Or*<sub>rot,1</sub> [30]. Появление одной широкой полосы (см. рис. 5, а, кривая 3) связано с изменением формы теплового движения молекул — с переходом *n*-парафина в низкотемпературное ротаци-

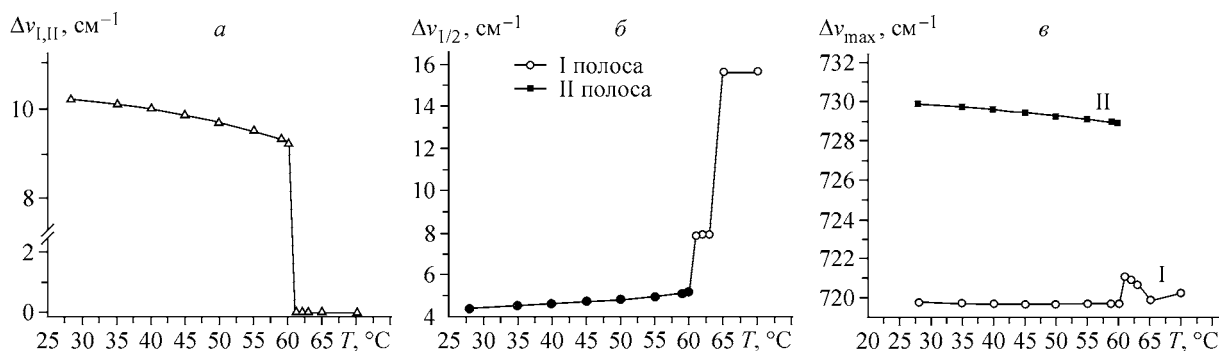


Рис. 6. Температурная зависимость величины давыдовского расщепления  $\Delta\nu_{I,II}$  (а), полуширины  $\Delta\nu_{1/2}$  (б) и положения максимумов полос  $\nu_{max}$  (в) в области маятниковых колебаний групп  $\text{CH}_2$  н-парафина  $\text{C}_{28}\text{H}_{58}$

онно-кристаллическое состояние. Напомним, что это состояние характеризуется хаотически-крутильными колебаниями молекул вокруг своих длинных осей. Такое тепловое движение молекул, так называемое "заторможенное вращение", приводит к нарушению их ориентационного порядка в структуре и, соответственно, к эквивалентности молекулярных позиций в ромбической ячейке ротационной фазы  $Or_{rot.1}$ . В свою очередь, нарушение ориентационного порядка приводит к скачкообразному уменьшению до нуля величины давыдовского расщепления  $\Delta\nu_{I,II}$  (см. рис. 6, а). Кроме того, при фазовом переходе скачком увеличивается частота деформационных (зонтических) колебаний метильных групп (см. рис. 5, в) от 1371 см<sup>-1</sup> (28 °C) до 1378 см<sup>-1</sup> (61 °C) (кривые 1 и 3 соответственно), и это свидетельствует об ослаблении взаимодействия между слоями полностью вытянутых парафиновых молекул.

При 65 °C резко уменьшается интенсивность полосы с частотой 721 см<sup>-1</sup>, что отвечает переходу этого н-парафина в жидкую фазу. При этом величина  $\Delta\nu_{I,II}$  становится равной нулю (см. рис. 6, а), а полуширина полосы увеличивается до 16 см<sup>-1</sup> (б). При этой температуре вместо полностью вытянутых метиленовых цепей (*транс*-изомеры) наблюдается набор поворотных изомеров (*гош*-изомеры), что подтверждается появлением новых полос в области 1250—1370 см<sup>-1</sup> (см. рис. 5, в, кривые 6 и 7), аналогично тому, что имело место в случае н-парафина C<sub>26</sub>H<sub>54</sub> (см. рис. 2, в, кривая 5). Таким образом, появление новых полос, характеризующих различные изогнутые конформации молекул, наблюдается только при температуре плавления, т.е. и в случае этого н-парафина форма полностью вытянутых *транс*-изомеров сохраняется вплоть до плавления вещества.

**Дифференциальная сканирующая калориметрия.** На рис. 3, б приведены термограммы н-парафина C<sub>28</sub>H<sub>58</sub>, полученные методом ДСК в режимах нагревания (сплошная кривая) и охлаждения (штриховая) образца. Согласно этим данным, фазовый переход I рода из кристаллического состояния в низкотемпературное ротационно-кристаллическое состояние осуществляется при температуре 59,2 (нагревание) и 56,2 °C (охлаждение). Превращение твердой фазы в жидкую происходит при температуре 62,5 (нагревание) и 61,4 °C (охлаждение).

Таблица 2

Температура фазовых переходов н-парафина C<sub>28</sub>H<sub>58</sub>, установленная различными методами в режиме нагревания образца

Метод	Исходная фаза	Температура, °C	
		Переход cryst → rot.1	Плавление rot.1 → L
Терморентгенография	2M	57,6	61,5
ИК спектроскопия	1M	60,5	64,0
ДСК (первый нагрев)	2M	59,2	62,5
ДСК (второй нагрев)	1M	59,5	63,0

Данные всех трех методов исследования (терморентгенография, ИК спектроскопия и ДСК) н-парафина C<sub>28</sub>H<sub>58</sub> достаточно удовлетворительно согласуются между собой (табл. 2).

## ЗАКЛЮЧЕНИЕ

Здесь обсудим один из важных, на наш взгляд, итогов исследований четных длинноцепочечных н-парафи-

нов C<sub>26</sub>H<sub>54</sub> и C<sub>28</sub>H<sub>58</sub>, выполненных с использованием методов терморентгенографии, ИК спектроскопии и ДСК в широком температурном диапазоне — от комнатной температуры до плавления вещества.

Экспериментально установлено, что в нормальном гомологическом ряду *четных* парафинов *n*-C<sub>26</sub>H<sub>54</sub> является третьим (и "последним") парафином, испытывающим полную цепочку твердофазовых превращений: кристаллическое состояние *crys* → низкотемпературное ротационно-кристаллическое состояние *rot.1* → высокотемпературное ротационно-кристаллическое состояние *rot.2*. Ранее [3] нами были выявлены подобные твердофазовые превращения при изучении еще двух четных *n*-парафинов C<sub>22</sub>H<sub>46</sub> и C<sub>24</sub>H<sub>50</sub>. Более короткоцепочечные четные *n*-парафины C<sub>18</sub>H<sub>38</sub> и C<sub>20</sub>H<sub>42</sub> не успевают перейти в гексагональную высокотемпературную ротационно-кристаллическую фазу H<sub>rot.2</sub> — вещество плавится раньше. Заметим, что все три *n*-парафина (C<sub>22</sub>H<sub>46</sub>, C<sub>24</sub>H<sub>50</sub> и C<sub>26</sub>H<sub>54</sub>), испытывающие полную цепочку превращений, кристаллизуются при комнатной температуре в *триклиновой* сингонии. Начиная с *n*-парафина C<sub>28</sub>H<sub>58</sub>, четные *n*-парафины кристаллизуются при комнатной температуре в моноклиновой сингонии (однослочная 1*M* и двухслойная 2*M* модификации) и, начиная с этого же номера, четные *n*-парафины перестают испытывать твердофазовые превращения в полном объеме — для них установлен только переход из кристаллического состояния *crys* в низкотемпературное ротационно-кристаллическое состояние *rot.1*. Основанием для этого утверждения служат результаты экспериментального изучения моноклиновых *n*-парафинов, представленные как в данной работе (*n* = 28), так и в других наших публикациях (*n* = 30, 32, 34 и 36) [23, 31, 38—40]. Таким образом, в гомологическом ряду *четных моноклиновых* *n*-парафинов ни для одного из его представителей не установлена полная цепочка твердофазовых превращений. Из этого следует, что *n*-парафины C<sub>26</sub>H<sub>54</sub> и C<sub>28</sub>H<sub>58</sub> являются "пограничными" четными гомологами не только в отношении присущего им разнообразия кристаллических полиморфных модификаций, но и в отношении поведения при нагревании — полноты испытываемых ими твердофазовых превращений. Причины разнообразия кристаллических полиморфных модификаций обсуждаются в [17, 18].

Ранее [3, 41] в гомологическом ряду *нечетных ромбических* *n*-парафинов нами также была выявлена высокотемпературная гексагональная ротационно-кристаллическая фаза H<sub>rot.2</sub> у гомологов со "средними" номерами *n*: C<sub>23</sub>H<sub>48</sub> и C<sub>25</sub>H<sub>52</sub>. Более короткоцепочечные, "более легкие" *n*-парафины C<sub>17</sub>H<sub>36</sub>, C<sub>19</sub>H<sub>40</sub>, C<sub>21</sub>H<sub>44</sub> и более длинноцепочечный, "более тяжелый" *n*-парафин C<sub>27</sub>H<sub>56</sub> не испытывают переход в гексагональную фазу H<sub>rot.2</sub>. Таким образом, в гомологическом ряду *n*-парафинов (*n* = 17—36) только пять его представителей (нечетные ромбические *n*-парафины C<sub>23</sub>H<sub>48</sub> и C<sub>25</sub>H<sub>52</sub> и четные триклиновые *n*-парафины C<sub>22</sub>H<sub>46</sub>, C<sub>24</sub>H<sub>50</sub> и C<sub>26</sub>H<sub>54</sub>) могут находиться в высокотемпературном ротационно-кристаллическом состоянии *rot.2*. Сказанное справедливо лишь для *n*-парафинов высокой степени гомологической чистоты. Уже незначительная добавка примеси даже соседнего гомолога может сильно сказаться на термическом поведении таких "загрязненных" *n*-парафинов — по существу, уже твердых растворов. Например, добавка ~2 мол.% к *n*-парафину C<sub>21</sub>H<sub>44</sub> более длинноцепочечного соседнего примесного гомолога C<sub>23</sub>H<sub>48</sub> и примерно такая же добавка к *n*-парафину C<sub>27</sub>H<sub>56</sub> более короткоцепочечного примесного гомолога C<sub>25</sub>H<sub>52</sub> оказывается достаточной для того, чтобы осуществилась полная цепочка твердофазовых превращений. Более того, в случае твердых растворов имеет место еще одно фазовое превращение — переход из низкотемпературного ротационно-кристаллического состояния *rot.1* в промежуточное ротационно-кристаллическое состояние *rot.1 + 2* [3, 42]. По форме теплового движения молекул и температурной области проявления это ротационно-кристаллическое состояние является промежуточным между низкотемпературным и высокотемпературным типами ротационно-кристаллических состояний.

Авторы благодарят Т.В. Безродную и Т.А. Гаврилко за помощь в проведении температурных измерений ИК спектров.

Работа выполнена при финансовой поддержке Российского фонда фундаментальных исследований (грант № 06-05-64733).

## СПИСОК ЛИТЕРАТУРЫ

1. *Милюх Ю.В.* // Журн. структур. химии. – 1960. – **1**, № 3. – С. 370 – 388.
2. *Китайгородский А.И.* Молекулярные кристаллы. – М.: Наука, 1971.
3. *Котельникова Е.Н., Филатов С.К.* Кристаллохимия парафинов. – СПб.: Нева, 2002.
4. *Broadhurst M.G.* // J. Res. Nat. Bur. Stand. Sect. A. – 1966. – **12**, N 3. – P. 241 – 249.
5. *Muller A.* // Proc. Roy. Soc. Ser. A. – 1932. – **138**. – P. 14 – 530.
6. *Schaerer A.A., Bayle G.G., Maze W.H.* // Rec. Trav. Chim. – 1956. – **75**, N 5. – P. 513 – 528.
7. *Doucet J., Denicolo I., Craevich A.F., Germain C.* // J. Chem. Phys. – 1984. – **80**, N 4. – P. 1647 – 1651.
8. *Sirota E.B., Singer D.M.* // Ibid. – 1994. – **101**, N 15. – P. 1873 – 1882.
9. *Martin J.M.Jr., Johnson R.W.B., O'Neal M.J.* // Spectrochim. Acta. – 1958. – **12**, N 1. – P. 12 – 16.
10. *Nielsen J.R., Hathaway C.E.* // J. Mol. Spectroscop. – 1963. – **10**, N 5. – P. 366 – 377.
11. *Barnes J.D., Fanconi B.M.* // J. Chem. Phys. – 1972. – **56**, N 10. – P. 5190 – 5192.
12. *Zerbi G., Mugni R., Gussoni M. et al.* // Ibid. – 1981. – **75**. – P. 3175 – 3194.
13. *Snyder R.G., Maroncelli M., Qi S.P., Strauss H.L.* // Science. – 1981. – **214**, N 4517. – P. 188 – 190.
14. *Taylor M.G., Kelusky E.C., Smith I.C.P. et al.* // J. Chem. Phys. – 1983. – **78**, N 8. – P. 5108 – 5112.
15. *Maroncelli M., Qi S.P., Strauss H.L., Snyder R.G.* // J. Amer. Chem. Soc. – 1982. – **104**. – P. 6237 – 6247.
16. *Maroncelli M., Strauss H.L., Snyder R.G.* // J. Chem. Phys. – 1985. – **82**, N 6. – P. 2811 – 2824.
17. *Danchuk V.D., Kravchuk A.P., Makarenko S.P. et al.* // Proc. Intern. Soc. Optical Engineering. – 2002. – **4938**. – P. 185 – 189.
18. *Puchkovska G.A., Makarenko S.P., Danchuk V.D. et al.* // J. Mol. Struct. – 2002. – **614**, N 1—3. – P. 159 – 166.
19. *Makarenko S.P., Puchkovska G.A., Kotelnikova E.N., Filatov S.K.* // Ibid. – 2004. – **704**. – P. 25 – 30.
20. *Puchkovska G.A., Danchuk V.D., Makarenko S.P. et al.* // Ibid. – 2004. – **708**. – P. 39 – 45.
21. *Платонова Н.В., Котельникова Е.Н., Филатов С.К.* // Матер. X Съезда Росс. минералог. о-ва РАН "Минералогия во всем пространстве сего слова". – СПб., 2004. – С. 103 – 104.
22. *Платонова Н.В., Котельникова Е.Н., Чаженгина С.Ю., Филатов С.К.* // Матер. II Росс. совещ. по органич. минералогии. – Петрозаводск, 2005. – С. 26 – 28.
23. *Платонова Н.В., Котельникова Е.Н., Филатов С.К.* // Записки РМО. – 2006. – № 3. – С. 101 – 122.
24. *Schaerer A.A., Busso C.J., Smith A.E., Skinner L.B.* // J. Amer. Chem. Soc. – 1955. – **77**. – P. 2017 – 2019.
25. *Ohlberg S.M.* // J. Phys. Chem. – 1959. – **63**, N 2. – P. 248 – 250.
26. *Smith A.E.* // Bull. Amer. Phys. Soc. – 1961. – **6**, N 2. – P. 171.
27. *Boistelle R., Simon B., Pepe G.* // Acta Crystallogr. – 1976. – **B32**. – P. 1240 – 1243.
28. *Denicolo I., Doucet J., Craevich A.F.* // J. Chem. Phys. – 1983. – **78**, N 3. – P. 1465 – 1469.
29. *Gerson A.R., Roberts K.J., Sherwood J.N.* // Acta Crystallogr. – 1992. – **B48**. – P. 746 – 747.
30. *Puchkovska G.A., Danchuk V.D., Kravchuk A.R., Kukelski J.I.* // J. Mol. Struct. – 2004. – **704**. – P. 119 – 123.
31. *Гнатюк И., Пучковская Г., Котельникова Е. и др.* // Матер. II Росс. совещ. по органич. минералогии. – Петрозаводск, 2005. – С. 13 – 14.
32. *Котельникова Е.Н., Осадчая Л.М., Романова В.В. и др.* // Вестник СПбГУ. – 1997. – Сер. 3, вып. 3. (№ 17). – С. 73 – 80.
33. *Котельникова Е.Н., Осадчая Л.М., Туманова С.Ю. и др.* Успехи функциональной нейрохимии. – СПб.: СПбГУ, 2003. – С. 207 – 213.
34. *Котельникова Е.Н., Филатов С.К., Чуканов Н.В.* // Записки ВМО. – 2004. – № 3. – С. 80 – 92.
35. *Чаженгина С.Ю., Котельникова Е.Н., Филатов С.К.* // Там же. – № 5. – С. 26 – 49.
36. *Платонова Н.В., Котельникова Е.Н., Филатов С.К.* // Матер. II Росс. совещ. по органич. минералогии. – Петрозаводск, 2005. – С. 24 – 26.
37. *Руководство по рентгеновскому исследованию минералов* / Под ред. В.А. Франк-Каменецкого. – Л.: Недра, 1975.
38. *Платонова Н.В., Котельникова Е.Н., Филатов С.К., Пучковская Г.А.* // Матер. XV Росс. совещ. по эксперим. минералогии. – Сыктывкар, 2005. – С. 296 – 298.
39. *Платонова Н.В., Котельникова Е.Н., Пучковская Г.А., Филатов С.К.* // Матер. Межд. конф. "Спектроскопия, рентгенография и кристаллохимия минералов". – Казань, 2005. – С. 198 – 200.
40. *Puchkovska G.A., Danchuk V.D., Kotelnikova E.N. et al.* // Book of Abstr. XX Congress Intern. Union of Crystallography. – Florence, 2005. – P. 318 – 319.
41. *Каретников И.А.* // Вестник СПбГУ. – 2005. – Сер. 7, Вып. 2. – С. 103 – 104.
42. *Chazhengina S.Yu., Kotelnikova E.N., Filippova I.V., Filatov S.K.* // J. Mol. Struct. – 2003. – **647**. – P. 243 – 257.